

В. П. ВАРЛАМОВ, О. И. ЛУКЬЯНОВА, академик П. А. РЕБИНДЕР

ОБРАЗОВАНИЕ И НЕКОТОРЫЕ СВОЙСТВА  
ДИСПЕРСНЫХ СТРУКТУР ГИДРОСИЛИКАТОВ КАЛЬЦИЯ  
В ГИДРОТЕРМАЛЬНЫХ УСЛОВИЯХ

Недавно разработано несколько способов оценки степени конденсации  $\text{SiO}_2$  в силикатах по кинетике растворения их и составу образующихся продуктов<sup>(1-3)</sup>, что послужило основанием новой гипотезе о природе гидросиликатов  $\text{C-S-H}$ <sup>(4)</sup>, выдвинутой Тэйлором<sup>(5)</sup>. Нами из других данных<sup>(6)</sup> независимо выведено положение о фрагментарном строении тоберморитоподобных гидросиликатов как фазы переменного состава<sup>(6)</sup>, которое рассмотрено в применении к их фазовым превращениям в гидротермальных условиях<sup>(7)</sup>. В свете этих представлений можно по-новому рассматривать условия образования и свойства дисперсных структур на основе гидросиликатов кальция, используя также современные сведения о влиянии на процессы структурообразования в дисперсных системах фазовых переходов.

В процессе роста прочности образцов известково-кварцевых смесей при гидротермальной обработке обычно выделяют три стадии, из которых первая связана с образованием высокоосновного гидросиликата из группы  $\text{C-S-H}$  (I) или  $\alpha$ -гидрата  $\text{C}_2\text{S}$  при взаимодействии кремнезема с кальциевой составляющей<sup>(8-10)</sup>. Второй этап роста прочности принят объяснять накоплением дополнительного количества гидросиликата за счет дальнейшей реакции его формы с высоким  $\text{C/S}$  с кремнеземом после связывания  $\text{Ca}(\text{OH})_2$ ; третий этап описывают как периодическое упрочнение и разупрочнение структуры в ходе фазовых превращений кристаллических гидросиликатов<sup>(11)</sup>.

Определение количества и состава гидросиликата с помощью рентгеновского анализа показало, что в смесях  $\text{Ca}(\text{OH})_2$  с кварцем дисперсностью от 0,1 до 0,6  $\text{m}^2/\text{g}$  при  $(\text{C/S})_{\text{исх}} \leqslant 0,4$  и температуре обработки 150–225° состав гидросиликата устанавливается постоянным задолго до полного связывания извести, причем  $\text{C/S}$  гидросиликата близко к единице. Таким образом, первая стадия взаимодействия не обязательно завершается образованием высокоосновного гидросиликата.

На второй стадии роста прочности мы не наблюдали дополнительного связывания  $\text{SiO}_2$ . Прирост прочности, составляющий в некоторых случаях на этом этапе 50–100% от ее первоначального значения, не вызван, следовательно, дальнейшим накоплением гидросиликата. Учитывая, что сначала  $\text{C-S-H}$  (I) образуется в низкоконденсированной форме, а конечным продуктом его превращений является высококонденсированный ксонотлит (или трускоттит), следует относить упрочнение на этой стадии за счет увеличения степени конденсации гидросиликата, еще не ведущей к фазовому превращению (внутрифазовый переход<sup>(5, 6)</sup>). Подтверждение структурообразующей способности  $\text{C-S-H}$  (I) в гидротермальных условиях получено на смесях с кварцем гидросиликатов, предварительно синтезированных с  $\text{C/S}$  от 0,7 до 1,5. Из смесей изготовлены вибрированные и прессованные образцы, обработка которых при различных температурах от 75–300° привела к одинаковой прочности (на сжатие) при условии отсутствия фазовых переходов, как видно из данных табл. 1. Для сравнения структурообразующих свойств гидросиликатов, синтезированных отдельно и полученных в процессе взаимодействия  $\text{Ca}(\text{OH})_2$  с кварцем, приготовлены смеси  $\text{C-S-H}$  (I),  $\text{C/S} = 1$ , с  $\text{Ca}(\text{OH})_2$  и кварцем при различном содержании гидросиликата и соблюдении постоянного

Таблица 1

Влияние добавок гидросиликата  $\text{C-S-H}$  (I) на прочность структур в смесях с кварцем после гидротермальной обработки (прочность в кГ/см<sup>2</sup>)

Состав смеси	T-ра, °C	Прочность на сжатие прессованных образцов, приведенная к постоянной плотности для указанного срока выдержки		
		8 час.	1,5 сут.	1,5 сут. и длительная сушка
Количество CSH (I) в смеси с $\text{SiO}_2$ и $\text{Ca}(\text{OH})_2$ (при $d = 1,53 \text{ г/см}^2$ ), %	175	392	480	750
		575	630	910
		450	485	920
		500	432	1060
		545	463	915
		545	412	975
$25\% \text{ CSH (I)}$ ( $d_{cp} = 1,72 \text{ г/см}$ ) с C/S	77	1 сут.	3 сут.	10 сут.
	120	—	—	510
		—	—	460
	120	420	540	480
		490	420	450
	175	620	420	190 *
		590	460	190 *
	300 *	330	200	330
		290	270	200

\* В составе твердых фаз преобладают гиролит или трускоттит.

C/S смеси. Эти образцы, подвергнутые гидротермальной обработке при 175°, также обнаружили высокую одинаковую прочность, при условии приведения к одинаковой плотности структур (табл. 1). Гидросиликаты без кварцевого наполнителя тоже дают структуры твердения, но плотность их слишком низка для сопоставления со структурами известково-кварцевых смесей.

В пользу наличия вяжущих свойств у C-S-H (I) говорит также способность восстанавливать полностью прочность дисперсной структуры после механического разрушения. На стадии взаимодействия  $\text{Ca}(\text{OH})_2$  с  $\text{SiO}_2$  это отмечено нами ранее (12), а в данном случае наблюдалось и после полного связывания извести. Повторное приготовление образцов из таких прореагировавших смесей и новая их обработка в автоклаве дает структуры высокой прочности. При этом прочность близка к прочности исходной структуры, если образовался C-S-H (I), а также структурно-представляемые ему тоберморит или ксонотлит в тех случаях, когда превращения принимают характер фазовых переходов (табл. 2).

Содержание свободного кварца в смесях после связывания извести заметно не изменяется, как это видно, например, из рис. 1, и следовательно процесс твердения можно рассматривать как результат первоначально образовавшегося низкоконденсированного C-S-H (I) и повторного его выделения в более конденсированной форме. Химические методы определения связанного  $\text{SiO}_2$  дают часто более высокие значения C/S, чем рентгеновский анализ и более резкое его изменение в ходе реакции. Поэтому, очевидно, и установилось мнение, что C/S гидросиликата всегда сильно меняется при взаимодействии  $\text{Ca}(\text{OH})_2$  с кварцем и после его окончания.

На третьей стадии — стадии фазовых превращений — сохраняется свойство восстановления прочности дисперсной структуры после механическо-

го разрушения. При гидротермальном твердении известково-кварцевых смесей мы не наблюдали многократных спадов и подъемов прочности на этой стадии, исключая те, которые обусловлены невысокой воспроизведимостью прочности таких образцов. После достижения максимума на 2 стадии (не показан на рис. 1) прочность либо осталась приблизительно постоянной — в случае образования ксонотлита или «предксонотлитовых» фаз (тоберморит, CSH (A)), либо стойко снижалась при превращении C—S—H (I) в гиролит и структурно подобный гиролиту трускоттит. Это показано на рис. 1. Притом образование ксонотлита или трускоттита как устойчивых конечных фаз обеспечивалось вариацией дисперсности кварца, низкой в первом ( $0,1$ — $0,2 \text{ м}^2/\text{г}$ ) и высокой во втором случае ( $0,4$ — $0,6 \text{ м}^2/\text{г}$ ). Возможно, что образование низкоосновных гидросиликатов с высокодисперсным кварцем способствовало более высокая растворимость последнего, которая реализуется после связывания  $\text{Ca(OH)}_2$  (<sup>13</sup>). В этом случае можно было ожидать дополнительного связывания SiO<sub>2</sub>, но оно не наблюдалось, и прочность, напротив, уменьшалась.

Рис. 1. Влияние фазовых переходов на прочность структур в вибрированных образцах из известково-кварцевых смесей (25% CaO), обработанных при 225°. Дисперсность кварца: 0,1 и 0,2 (I), 0,4 и 0,6 (II)  $\text{м}^2/\text{г}$ . Интенсивность линии кварца: 2,42 Å I<sub>k</sub> (III) — преобладающая фаза: CSH (I) — I, ксонотлит, гиролит — 3. Черные точки — усреднение по большому числу образцов

Следствие неизоморфности по отношению к нему предшествующей фазы, а образование из него далее трускоттита есть переход в пределах изоморфных фаз и не ведет к дальнейшему снижению прочности. Та же причина, по-видимому, лежит в основе постоянства или малого снижения прочности в ряду превращений C—S—H (I) — ксонотлит, так как зародыши новой фазы, в том числе контактные, могут образовываться на базе предыдущей, а смена фаз происходит постепенно. После механического разрушения структур промежуточных фаз про-

Таблица 2

Автоклавное твердение смесей [неконденсированных и низкононденсированных гидросиликатов с кварцем (дисперсность 0,2  $\text{м}^2/\text{г}$ )]

Гидросиликат	Срок выдержки при 175°, сутки	$d, \text{г}/\text{см}^3$	Прочность на сжатие, $\text{kG}/\text{см}^2$	Примечания
CSH (I) 55%, после механич. разрушения первичной структуры	1	1,65	950	Прочность первичных структур, приведенная к средней плотности 720—1100 $\text{kG}/\text{см}^2$
	1	1,58	720	
	1	1,61	940	
$\text{C}_2\text{SH}$ (A), 23%	3,5	1,45	920	Продукты превращения tobbermorит и C—S—H (I)
	3,5	1,46	450	
	4,5	1,71	960	
	3,5	1,53	400	
Афвиллит, 25%	4,5	1,55	492	То же
	4,5	1,71	640	
	4,5	1,77	670	
$\text{C}_2\text{SH}$ (C), 25%	3,5	1,59	175	Продукт — CSH (I)
	3,5	1,53	140	
	3,5	1,50	400	
Гидрат $\text{C}_3\text{S}$ , 25%	3,5	1,59	175	Продукт — CSH (I) и tobbermorит
	3,5	1,53	140	
	3,5	1,50	400	
$\beta\text{-C}_2\text{S}$ безводный, 20%	3,5	1,50	910	Продукт — CSH (I)
	4,5	1,91	1270	
$\text{C}_3\text{S}$ безводный, 19%	4,5	1,83	1270	Средняя прочность, приведенная к $d = 1,53$ — $595 \text{ кG}/\text{см}^2$
	4,5	1,83	1270	

ность восстанавливается и перестает восстанавливаться после исчезновения этих фаз.

В этом же аспекте нами рассмотрен и другой ряд фазовых превращений, а именно образование слабоупорядоченных или других форм гидросиликатов из хорошо кристаллизующихся неконденсированных фаз — афвиллита и альбита  $C_2S$ , что отражено в табл. 2. Неконденсированные или слабо конденсированные гидросиликаты в смесях с кварцем ведут себя как вязущие, приближаясь по прочности структур гидротермального твердения к смесям безводных  $C_3S$  и  $\beta-C_2S$  в тех условиях. Подобно ведет себя гидрат  $C_2SH(C)$ , что указывает на низкую степень его конденсации. Меньшую прочность дает в аналогичных условиях гидрат трехкальциевого силиката. Продуктами их превращений, образующими дисперсные структуры во всех случаях, служили  $C-S-H(I)$ , тоберморит и  $CSH(A)$  в разных соотношениях и с примесью других фаз. Здесь, очевидно, на первое место выступают пересыщения, которые неконденсированные гидросиликаты создают в водной среде твердеющих образцов по отношению к гидросиликатам более высокой степени конденсации.

Кроме процессов структурообразования, идущих с участием водной среды, гидросиликаты способны к увеличению прочности дисперсных структур в результате длительного высушивания или термической обработки в пределах до  $300-600^\circ$ . Максимум прочности для  $C-S-H(I)$  в известково-кварцевых смесях после гидротермальной ( $175^\circ$ ) и дополнительной термической обработки соответствует остаточному содержанию  $H_2O$  25—30% от теоретического в  $C-S-H(I)$  с  $H/S = 1$ . Это близко к содержанию воды в 9 $\text{\AA}$ -м тоберморите, который может присутствовать лишь в форме фрагментов с  $C-S-H(I)$ , но образование его из высших гидратов в данном случае не обратимо. Увлажнение таких образцов приводит к снижению прочности лишь в пределах адсорбционного эффекта. В данном случае (рис. 2) проявляется форма конденсации, аналогичная образованию силикатсерогеля и идущая без участия водной среды. Этот путь конденсации облегчается с увеличением плотности дисперсной структуры.

Московский государственный университет  
им. М. В. Ломоносова

Поступило  
2 III 1970

#### ЦИТИРОВАННАЯ ЛИТЕРАТУРА

- <sup>1</sup> C. W. Lentz, Proc. Symp. Structure of Portland Cement Paste and Concrete, 1966, p. 269. <sup>2</sup> H. Funk, R. Friedrich, ibid., p. 284. <sup>3</sup> W. Wicker, H. Stade, Proc. Symp. Autoclaved Calcium Silicate Building Products, 1967, p. 125. <sup>4</sup> H. F. W. Taylor, The Calcium Silicate Hydrates. V Международн. конгресс по химии цемента, Токио, 1968. <sup>5</sup> О. И. Лукьянова, Сунь Ман-линь, Колл. журн., 31, № 1, та, Токио, 1968. <sup>6</sup> О. И. Лукьянова, П. А. Ребиндер, ДАН, 184, № 3, 410 (1969). <sup>7</sup> О. И. Лукьянова, П. А. Ребиндер, ДАН, 190, № 3 (1970). <sup>8</sup> G. L. Kalousek, J. Am. Concr. Inst., 26, 10 (1955). <sup>9</sup> П. П. Буздников, Н. В. Петровых, Тр. Московск. хим.-технол. инст. им. Д. И. Менделеева, 24 (1957). <sup>10</sup> Ю. М. Бутт, Б. Паримбетов, Сборн. тр. Республ. н.-и. инст. местных строительн. матер., № 8, 29 (1954); Ю. М. Бутт, Л. Н. Ращкович, Твердение вязущих при повышенных температурах, 1965. <sup>11</sup> С. А. Крижевский, Сборн. тр. Республ. н.-и. инст. местных строительн. матер., № 9, 117 (1955). <sup>12</sup> О. И. Лукьянова, В. П. Варламов, П. А. Ребиндер, ДАН, 192, № 6 (1970). <sup>13</sup> Л. Н. Ращкович, Н. К. Судина, В. П. Варламов, ДАН, 156, № 3 (1964).

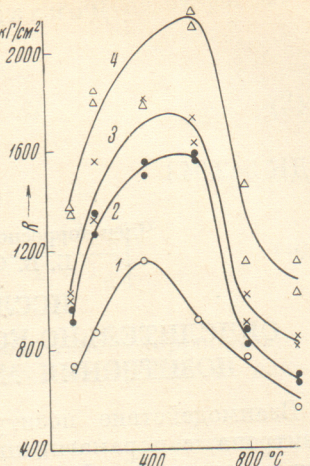


Рис. 2. Зависимость прочности прессованных образцов автоклавного твердения от температуры дополнительной термической обработки  $C/S$  в исходной смеси: 0,3 (1 и 4), 0,1 (2 и 3). Дисперсность кварца 0,2  $\text{м}^2/\text{г}$ ; средняя плотность сухих образцов: 1,4 (1), 1,9 (2 и 4), 2,06 (3)  $\text{г}/\text{cm}^3$